

熊本大学 正員

今上

鴻池組

下津 昌司

矢北 孝一

古賀 圭二

1. はじめに 従来、成層火山流域の特徴ある水文現象が、流域の水理地質的特性にとづくことが、指摘されてはいるが、地下水帯への雨水の浸透・涵養、流動の各過程の実態については、必ずしも十分な把握はなされていない。本研究は、水質的側面を通じて、この水循環過程の実態を検討しようとするものである。

2. 対象流域の概要 対象流域は図-1に示す阿蘇火山中央火口丘と外輪山に囲まれた、通称“南御岳”とよばれる白川最上流部と、阿蘇谷の黒川最上流部の両地域である。中央火口丘斜面は、成層火山特有的多孔隙の火山噴出物より構成された地層で、斜面で浸透した雨水は、山麓扇状地末端部では、被圧地下水帯を形成して湧出している。この地下水の流動経路を考えうれしく、図-1の矢印の方向に沿って、地下水の採水を行なった。図中の数字は採水地名を示す。またハッチの領域は地下水の流出域を示す。この線上(2~5)の地層断面を示すと、図-2のようになり、ローム層の火山灰土の下位に火山礫や、リテラの多い炭灰岩、安山岩、カルデラ湖時代の湖成堆積物(被圧地下水帯)が順に堆積している。

3. 涵養・流動過程における水質変化

主要イオンについての分析結果を図-3, 4に示す。水質組成分類(I)の炭酸カルシウム型に属するのは、流域上流部(1~5)の地下水であり、流動するにつれて、(II)の非炭酸カルシウム型に変つてゆく。この場合、陽イオンより陰イオンの組成変化に特徴がある。それは主に SO_4^{2-} の増加によるものである。これら物質の供給源を明らかにする目的で、図-1のA, B地点の表層土柱(1m)を不搅乱試料として採取し、表面から蒸留水を通過させ、溶出物質の分析をおこなった結果は、表-1(a)の通りである。

表-1 溶出成分分析値

	溶出量(mg/l)			
	A	B	火山灰岩質	溶出水
pH	6.3	6.55	6.71	6.82
EC_{low}	7.2	6.9	15	9.7
Ca^{2+}	0.22	0.25	0.06	0.06
Mg^{2+}	0.21	0.23	0.10	0.14
K^{+}	0.09	0.10	0.04	0.02
Na^{+}	0.19	0.17	0.01	0.01
HCO_3^-	0.27	0.24	0.16	0.18
Cl^-	0.33	0.39	0.02	0.03
SO_4^{2-}	0	0	0	0.02

図-3 水質組成(トリリ=ヤーダイヤグラム)

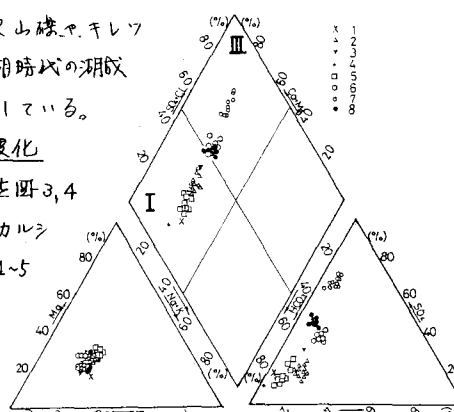


図-1 流域概要

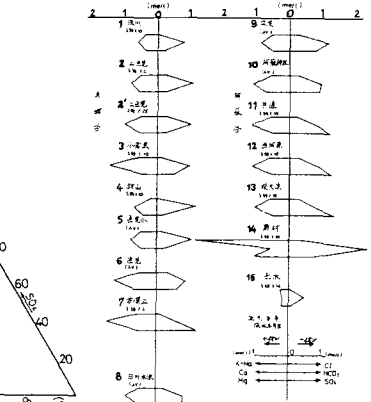
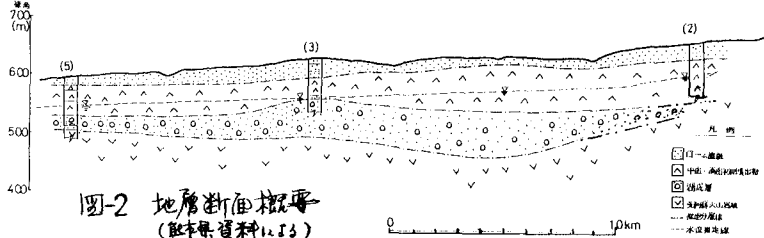


図-4 ヘクサダイヤグラム

図-2 地層断面概要
(既存資料による)

一方では、地層を構成している火山噴出物からの溶出成分は、ボーリングコアを碟状、(20~50mm)にして、蒸留水と共に一定期間密栓保存し、これから溶出物質の経時変化を求めたものの一部を表-1(b)に示す。表層からの浸透水は、地表(15m)浅層地下水と同組成を示してい。岩石からの溶出は、経過時間が短く、資料としては不十分であるが、池田²⁾によると富士の火山噴出物からの溶出実験を参考にすると、アニオンでは、 HCO_3^- が多く、 SO_4^{2-} は、岩石からは少く、表層からの供給が主体で、これは噴火からの継続的な供給をうかがわせる。 Cl^- はほとんど溶出しない。カチオンでは、本来火山岩成分として多い Ca^{2+} が、表層土中から供給されていて、地表(2)(7)(9)のように灌漑期に Ca^{2+} 濃度の増加が起こるのは、いずれも、水田からの直接浸透水が混入する場所である。これは火山の酸性土壤改良のため、可溶性の CaCO_3 を含む炭酸苦土石灰などが、大量に使用されたため³⁾、58年に新しく開拓された地表(2)にあって、湛水後、地下水への影響が顕著に現われた。この Ca^{2+} を1種のトレーサーとして、鉛直方向涵養柱の検討を行なった。この場合、地下水揚水による灌漑面積8.2ha、湛水開始5月20日、開拓中止命令による湛水停止から10月15日まで、最初に散布された量は、 CaCO_3 は12,137kgであった。一方周囲が畑・林地である地表(5)の水位変化と比較して、図-5に示す。この図では10月から11月にかけての、 Ca^{2+} および HCO_3^- の増加は、雨水の浸透による自然涵養と対応していよう。その場合、水位の最大に対し、濃度が遅れていく傾向がみられることが、トリチウム測定による調査からみて、当地域での地下水の循環形態は、キレフ等を降下する比較的循環速度の早い部分の割合が大きく、ピストン流よりも、混合流の形態とされていることが考えられる。いま濃度 $C = C_0 \cdot e^{-\lambda t}$ ……(1)で変化する Ca^{2+} を連続的に地表から地下水面(深さ約65m)まで浸透させた場合、測定される地下水中の Ca^{2+} 濃度の変化の型に合致するように、鉛直一次元拡散方程式 $\frac{\partial C}{\partial t} + U \frac{\partial C}{\partial X} = D_x \frac{\partial^2 C}{\partial X^2}$ ……(2) 式を用いて、数値解析⁴⁾試行的に求めた U 、 D_x の

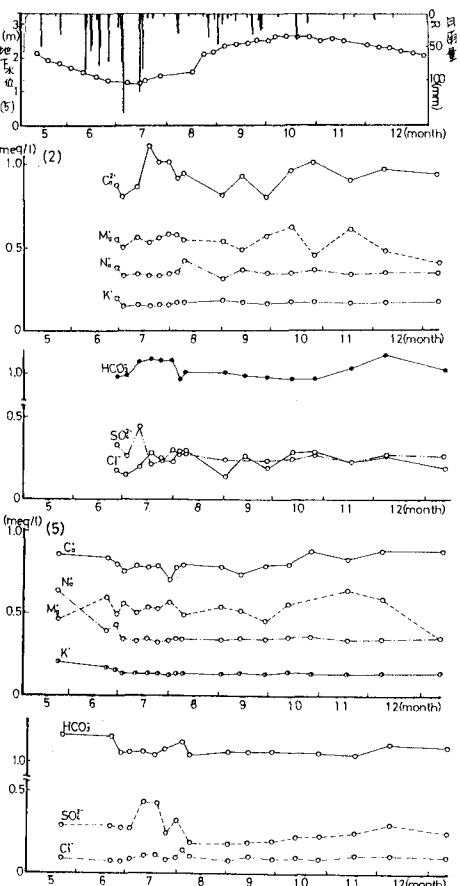


図-5 地表別水位経時変化

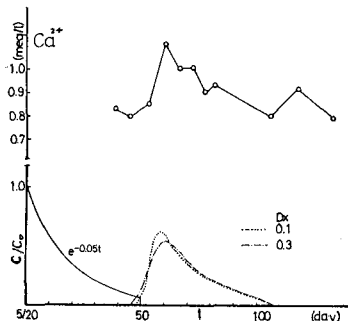


図-6 Ca^{2+} 濃度の経時変化

1例は、図-6のようになる。このケースでは、 $U = 0.05$ で湛水開始より停止日まで Ca^{2+} 濃度と低下を示すが、与えた結果、 $U = 1.2 \text{ mm/day} = 1.4 \times 10^{-3} \text{ cm/s}$ に対し、 $D_x = 0.1 \text{ m}^2/\text{s} = 0.012 \text{ cm}^2/\text{s}$ と $D_x = 0.3 \text{ m}^2/\text{s}$ を示す。地中での吸着は無視している。ここで、 U は表土層および帶水層の透水係数とオーダー的には合致する。一般的な分散係数 $D_x = \alpha \cdot U^n$ と表わせようとして、 $n = 1.1$ と仮定すると、 $\alpha = 16$ となる。 α が平均粒径に対する指標とすると、比表面積のスケールの大きさ、キレフの流量を示唆していることになる。今後、火山噴火に伴う間欠的に供給される持続性物質、例えば、下層水の低減状態など、いくつかの指標物質の確定、組合せがあり、火山地帯における水循環形態の把握をすこしやすくなる。水質分析に関する検討の御動力と頂いたことに対し謝意を表す。参考文献：1) 落合敏郎他、放船能地下水探査報告書(熊本県水系)熊本県、5など；2) 池田喜代治「静岡県富士山における地下水の研究」日本地下水学会誌24-2.3) 111頁；4) 地下水ハンドブック、建設省調査会 p105.